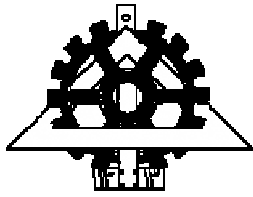


بِسْمِ

الله

الرحيم

الرحيم



دانشگاه تهران

دانشکده های فنی

دانشکده مهندسی معدن

بررسی پایداری فضاهای زیرزمینی با استفاده از مدل سازی فیزیکی

نگارش

مهدی یوسفی

استاد راهنما: دکتر مهدی موسوی

پایان نامه برای دریافت درجه کارشناسی ارشد

در رشته مهندسی معدن

شهریور ماه ۱۳۸۷

به نام دوست

گرچه زحمات پدر و مادر عزیزم هیچگاه جبران‌پذیر نیست،
اما بیشتر نه برای تشکر و تقدیر از آنها، بلکه برای اندک کاهش
بار سنگین دینی که بر من دارند، این تحفه ناچیز را به آنها تقدیم
می‌نمایم.

امیدوارم دعای خیرشان چون همیشه، فرشته نگهبان من در
ادامه مسیر دشوار زندگی باشد.

با احترام

هشتمین روز از مهر ماه

هزار و سیصد و هشتاد و هفت خورشیدی

چکیده

در خلال دهه ۵۰ میلادی استفاده از مدل سازی فیزیکی مورد توجه مهندسین ژئوتکنیک واقع شد و با وجود هزینه بالای تجهیزات آزمایشگاهی و زمان طولانی پروسه مدل سازی فیزیکی و در مقابل هزینه اندک استفاده از مدل های عددی، همچنان این ابزار به عنوان یکی از روش های مورد استفاده در مهندسی زمین شناخته می شود، چراکه هنوز پاسخ روشی برای برخی پیچیدگی های مرتبط با ساختارهای ژئوتکنیکی مانند پاسخ های غیرخطی مواد خاکی و سنگی، ناهمسانگردی مقاومت و رفتار تخریبی غیرقابل پیش بینی توده سنگ ها توسط مدل های عددی حاصل نشده است.

استفاده از ابزار مدل سازی فیزیکی مستلزم سلط کامل بر تئوری های تشابه و آنالیز ابعادی است. نتیجه این تئوری ها، محدودیت هایی در یافتن مواد مناسب جهت ساخت مدل، اعمال بار وارد و آن و روش های مناسب جهت ساخت و ابزار بندی مدل تحمیل می کند.

در این تحقیق مدل ساده ای از یک تونل دایره ای شکل به قطر 5 cm در آزمایشگاه شبیه سازی و تحت بار قرار گرفته است و جابجایی های اطراف تونل بوسیله روش فتوگرامتری اندازه گیری شده است. نتایج حاصله، از جابجایی معادل $466\text{ mm}/0.466\text{ m}$ در سقف تونل حکایت دارد که با بکارگیری روش های آنالیز ابعادی می توان جابجایی معادل $4/66\text{ cm}$ را برای نقطه متناظر در تونلی به قطر 5 m با خواص مکانیکی صادق در گروه های بی بعد حاصله از روابط تشابه، پیش بینی نمود.

رونده انجام آزمایش شامل سه مرحله اصلی انتخاب ماده برای ساخت مدل، ساخت محفظه آزمایش و در نهایت انجام آزمایش مدل فیزیکی بوده است. ماده انتخاب شده ترکیبی از گچ، باریت و آب است که بلوکی به ابعاد $cm 30 \times 40 \times 50$ از آن تهیه شد. در نهایت باری معادل 15 ton بر سطح بلوک وارد گردیده و جابجایی های حاصل از حفاری بلوک مورد مطالعه قرار گرفت.

واژگان کلیدی: مدل سازی فیزیکی، آنالیز ابعادی، فتوگرامتری

در آغاز سخن مراتب سپاس و قدردانی خالصانه خود را

خدمت همه استادی محتشم دانشکده مهندسی معدن که با

زحمات بی دریغ شان در تعلیم و تربیت اینجانب نقش بسزایی

داشته‌اند، تقدیم می‌نمایم؛ خصوصاً استاد علم و ادب دکتر مهدی

موسوی و استاد زندگی و اخلاق مهندس مهدی یاوری و

مهندس علی‌اصغر خدایاری که با راهنمایی‌های بی‌شائبه خویش

همواره چون فانوسی هدایتگر، روشنگر مسیر زندگانی من بوده

و خواهند بود.

امیدوارم سایه این استاد ارجمند همواره بر سر دانشجویان

گروه مهندسی معدن دانشکده فنی مستدام و پایدار باشد.

فهرست عناوین

| | |
|----|--|
| ۱ | فصل اول: مقدمه |
| ۶ | فصل دوم: شابه و آنالیز ابعادی |
| ۷ | ۱-۲. پیشگفتار |
| ۹ | ۲-۲. تشابه |
| ۹ | ۱-۲-۲. تشابه هندسی |
| ۹ | ۲-۲-۲. تشابه سینماتیک |
| ۱۰ | ۳-۲-۲. تشابه دینامیک |
| ۱۲ | ۲-۲. آنالیز ابعادی |
| ۱۳ | ۱-۲-۲. تنوری باکینگهام |
| ۱۴ | ۲-۲-۲. روش باکینگهام |
| ۱۵ | ۳-۲-۲. روش هانسکر و رایتمایر |
| ۱۶ | ۴-۲-۲. تغییر سیستم برای یافتن تعداد ابعاد اصلی |
| ۱۸ | ۳-۲. چگونگی طراحی مدل |
| ۱۹ | ۱-۳-۲. مقیاس‌گذاری مدل |
| ۲۰ | ۲-۳-۲. اثرات مقیاس |
| ۲۲ | فصل سوم: مدل فیزیکی فضاهای زیرزمینی |
| ۲۳ | ۱-۳. پیشگفتار |
| ۲۴ | ۲-۳. اصول مدل‌سازی فیزیکی فضاهای زیرزمینی |
| ۲۷ | ۳-۳. تأمین نیروی وارد بر نمونه |
| ۲۷ | ۱-۳-۳. اعمال بار بر مرزهای نمونه |
| ۲۹ | ۲-۳-۳. مدل‌های سانتریفیوژ |

| | |
|--|--|
| بررسی پایداری فضاهای زیرزمینی با استفاده از مدل سازی فیزیکی صفحه ج | |
| فهرست عناوین | |
| ۳۰ ۳-۳-۳. روش اصطکاک پایه | |
| ۳۳ ۳-۴. مواد مورد نیاز برای ساخت مدل | |
| ۳۳ ۳-۴-۱. استفاده از مواد توده سنگ برجا | |
| ۳۵ ۳-۴-۲. استفاده از مواد مصنوعی | |
| ۳۷ ۳-۴-۳. مدل کردن ناپیوستگی ها | |
| ۳۹ ۳-۴-۴. مدل کردن ریزترک ها | |
| ۴۰ ۳-۴-۵. مدل سازی فیزیکی ناپیوستگی ها | |
| ۵۱ ۳-۴-۶. ایجاد فضا در بلوک ساخته شده | |
| ۵۲ ۳-۴-۷. سر برشی چرخشی | |
| ۵۲ ۳-۴-۸. سیستم جت آب | |
| ۵۳ ۳-۴-۹. سیستم جک گذاری | |
| ۵۳ ۳-۴-۱۰. قاب مرجع | |
| ۵۳ ۳-۴-۱۱. نصب تونل مدل شده | |
| ۵۴ ۳-۴-۱۲. ابزاربندی و رفتارنگاری مدل | |
| ۵۵ ۳-۴-۱۳. روشهای سنتی اندازه گیری در مدل فیزیکی | |
| ۵۸ ۳-۴-۱۴. روشهای مدرن اندازه گیری در مدل فیزیکی | |
| ۶۱ فصل چهارم: انتخاب مواد و ساخت مدل فیزیکی | |
| ۶۲ ۴-۱. پیش گفتار | |
| ۶۳ ۴-۲. تعیین خصوصیات مواد | |
| ۶۴ ۴-۲-۱. تعیین مدلول الاستیسیته | |
| ۷۲ ۴-۲-۲. تعیین مقاومت کششی | |
| ۷۴ ۴-۲-۳. انتخاب نهایی ماده و تعیین سایر خصوصیات آن | |
| ۷۶ ۴-۲-۴. ساخت مدل فیزیکی | |

| | |
|----------|---|
| ۷۸..... | فصل پنجم: آزمایش مدل و جمع‌آوری داده‌ها |
| ۷۹..... | ۱-۱. پیش‌گفتار..... |
| ۷۹..... | ۱-۲. ساخت محفظه انجام آزمایش |
| ۸۳..... | ۲-۱. روش حفاری تونل در بلوک..... |
| ۸۶..... | ۳-۱. روش اندازه‌گیری جابجایی‌ها..... |
| ۹۱..... | ۴-۱. انجام آزمایش مدل..... |
| ۹۴..... | ۵-۱. تحلیل داده‌ها..... |
| ۱۰۹..... | ۶-۱. نتیجه آزمایشات..... |
| ۱۱۱..... | فصل ششم: نتیجه‌گیری و پیشنهادات..... |
| ۱۱۶..... | فهرست مراجع..... |
| ۱۱۹..... | پیوست: داده‌های حاصل از فتوگرامتری..... |
| ۱۳۹..... | <i>Abstract</i> |

فهرست جداول

| | |
|--|-----|
| جدول ۱-۲) کمیت‌های فیزیکی و دیمانسیون‌های آنها..... | ۷ |
| جدول ۳-۱) خصوصیات فیزیکو مکانیکی مواد و ترکیبات مختلف..... | ۳۵ |
| جدول ۴-۱) درصد وزنی مواد ترکیبی در آزمایش با دستگاه <i>MTS</i> | ۶۳ |
| جدول ۴-۲) نتایج آزمایش با دستگاه <i>MTS</i> | ۶۶ |
| جدول ۴-۳) درصد وزنی مواد ترکیبی در آزمایش با دستگاه بارگذاری دستی..... | ۶۸ |
| جدول ۴-۴) نتایج آزمایش با دستگاه بارگذاری دستی..... | ۷۰ |
| جدول ۴-۵) نتایج آزمایشات انجام گرفته بر روی نمونه‌ها..... | ۷۲ |
| جدول ۴-۶) مزایا و معایب استفاده از ترکیبات..... | ۷۳ |
| جدول ۷-۴) خصوصیات فیزیکو مکانیکی ترکیب انتخاب شده..... | ۷۵ |
| جدول ۱-۵) مقایسه نتایج داده‌های روش فتوگرامتری با داده‌های حاصل از <i>MTS</i> بر روی تمام نقاط نمونه در یک فریم ثابت..... | ۸۹ |
| جدول ۲-۵) مقایسه نتایج داده‌های روش فتوگرامتری با داده‌های حاصل از <i>MTS</i> برای نقطه‌ای به طول $97/969\text{ mm}$ | ۸۹ |
| جدول ۳-۵) همگرایی ماکریم نقاط اطراف تونل در چهار فریم اصلی بر حسب mm | ۱۰۱ |
| جدول ۴-۵) مقایسه همگرایی نقاط، حاصله از مدل فیزیکی و نرم افزار <i>FLAC^{3D}</i> | ۱۰۴ |
| جدول ۱-۶) خصوصیات ترکیب انتخاب شده برای ساخت مدل فیزیکی..... | ۱۱۲ |

فهرست اشکال

| | |
|---|----|
| شکل ۱-۱) مدل سازی نگهداری: راست: بدون راک بولت، چپ: با راک بولت..... | ۱ |
| شکل ۲-۱) نقش مدل سازی فیزیکی در طراحی..... | ۳ |
| شکل ۳-۱) مدل فیزیکی یک راهروی معدنی در سنگ‌های لایه‌ای..... | ۴ |
| شکل ۱-۳) نحوهِ اعمال بار خارجی بر مدل: چپ: اتاقک مدل، راست: ابزار اعمال بار..... | ۲۶ |
| شکل ۲-۳) استفاده از صفحات صلب در جوانب مدل برای برقراری ارتباط بین تنش افقی با تنش قائم..... | ۲۷ |
| شکل ۳-۳) نمونه‌ای از اتاقک دستگاه سانتریفیوژ به همراه ملحقات آن..... | ۲۹ |
| شکل ۴-۳) اجزای دستگاه اصطکاک‌پایه..... | ۳۱ |
| شکل ۵-۳) نمای از بالای دستگاه اصطکاک‌پایه..... | ۳۱ |
| شکل ۶-۳) بررسی تأثیر درزه‌ها بر پایداری تونل‌های کم عمق به وسیله دستگاه اصطکاک‌پایه در دو حالت درزه‌های افقی و درزه‌های با زاویه 60° | ۳۲ |
| شکل ۷-۳) آزمایش مدل فیزیکی با مواد طبیعی سنگ..... | ۳۳ |
| شکل ۸-۳) تجهیزات پیشرفته طراحی شده برای آزمایش مدل فیزیکی مغار..... | ۳۳ |
| شکل ۹-۳) تقسیم‌بندی درزه‌ها بر مبنای نقش آنها در توده سنگ..... | ۳۷ |
| شکل ۱۰-۳) مقادیر JRC برای سطوح مختلف درزه..... | ۳۹ |
| شکل ۱۱-۳) تشکیل سطوح فرکتال برای ناپیوستگی‌ها بر مبنای تقسیم‌بندی کتور..... | ۴۰ |
| شکل ۱۲-۳) نیروی فشاری P روی نمونه در حالت $s=2$ که تولید جابجایی معادل Δ می‌کند..... | ۴۱ |
| شکل ۱۳-۳) اندازه‌های متفاوت نمونه به دست آمده از سایز کامل ناپیوستگی برای حالات $s=2$ و $s=3$ | ۴۴ |
| شکل ۱۴-۳) سختی سطوح تماسی بی بعد به عنوان تابعی از سایز نمونه در حالت ثابت بودن E_i در رابطه $E_i = 45 - 3s$ | ۴۶ |
| شکل ۱۵-۳) سختی سطوح تماسی بی بعد به عنوان تابعی از سایز نمونه برای سه دسته پارامتر..... | ۴۸ |
| شکل ۱۶-۳) نتایج آزمایشگاهی تنش برشی بر حسب جابجایی برشی در فشار عمودی $24/5 kPa$ | ۴۸ |

| | |
|---|----|
| شکل ۳-۱۷) a) نتایج سختی تانژانتی و ثانویه بر حسب عرض نمونه‌ها b. نتایج سختی تانژانتی و ثانویه بر حسب مساحت نمونه‌ها. | ۴۹ |
| شکل ۳-۱۸) مدل فیزیکی فضای زیرزمینی به همراه ناپیوستگی‌ها. | ۴۹ |
| شکل ۳-۱۹) شبیه‌سازی تونل‌سازی کرنش صفحه‌ای دوبعدی. | ۵۰ |
| شکل ۳-۲۰) مدل جدیدی از ماشین تونل سازی. | ۵۱ |
| شکل ۳-۲۱) سر برشی ماشین تونل زنی. | ۵۱ |
| شکل ۳-۲۲) مراحل نصب تونل. | ۵۳ |
| شکل ۳-۲۳) یک نمای کلی از حفاری تونل. | ۵۳ |
| شکل ۳-۲۴) استفاده از عکس‌برداری و لیزر برای اندازه‌گیری جابجایی‌ها در مدل فیزیکی. | ۵۴ |
| شکل ۳-۲۵) بررسی تأثیر نیروی خارج از مرکز بر لاینینگ تونل. | ۵۵ |
| شکل ۳-۲۶) اتفاقک ساخته شده برای مدل فیزیکی تونل زنی باز. | ۵۵ |
| شکل ۳-۲۷) موقعیت سنسورها بر لاینینگ تونل. | ۵۵ |
| شکل ۳-۲۸) چپ: موقعیت جابجایی‌سنج‌های شعاعی، راست: موقعیت فشارسنج‌ها. | ۵۶ |
| شکل ۳-۲۹) نحوه مدل کردن تونل زنی به روش باز. | ۵۷ |
| شکل ۳-۳۰) نحوه مدل کردن تونل زنی به روش بسته. | ۵۷ |
| شکل ۳-۳۱) محدوده کرنش در ساختارهای ژئوتکنیکی. | ۵۸ |
| شکل ۳-۳۲) نقاط انعکاس نور تصب شده روی مدل. | ۵۸ |
| شکل ۳-۳۳) تحلیل عکس‌ها به وسیله نرم افزار VMS. | ۵۹ |
| شکل ۳-۳۴) تحلیل عکس‌ها به وسیله نرم افزار EngVig. | ۵۹ |
| شکل ۴-۱) شمای کلی باکس اولیه طراحی شده برای آزمایش مدل. | ۶۱ |
| شکل ۴-۲) تصویر راست: قالب استوانه‌ای (از جنس PVC) برای ساخت نمونه. تصویر چپ: چند نمونه تهیه شده بوسیله این قالب. | ۶۲ |
| شکل ۴-۳) راست: دستگاه برش برای جدا کردن نمونه‌ها در ابعاد مورد نیاز. چپ: دستگاه تراش برای صاف کردن سطوح انتهایی نمونه‌ها. | ۶۲ |
| شکل ۴-۴) راست: سیستم کنترل دستگاه و جمع آوری داده‌ها، چپ: محفظه دستگاه MTS. | ۶۳ |
| شکل ۴-۵) منحنی تنش-کرنش حاصله از آزمایش روی ترکیب شماره ۱. | ۶۴ |
| شکل ۴-۶) منحنی تنش-کرنش حاصله از آزمایش روی ترکیب شماره ۲. | ۶۴ |
| شکل ۴-۷) منحنی تنش-کرنش حاصله از آزمایش روی ترکیب شماره ۳. | ۶۴ |
| شکل ۴-۸) منحنی تنش-کرنش حاصله از آزمایش روی ترکیب شماره ۴. | ۶۵ |

| | |
|---|----|
| شکل ۴-۴) منحنی تنش-کرنش حاصله از آزمایش روی پی وی سی..... | ۶۵ |
| شکل ۱۰-۴) منحنی تنش-کرنش حاصله از آزمایش روی پلی اتیلن..... | ۶۵ |
| شکل ۱۱-۴) منحنی تنش-کرنش حاصله از آزمایش روی تفلن..... | ۶۵ |
| شکل ۱۲-۴) گرانولهای پلیمر در کنار نمونههای استوانهای پلیمر..... | ۶۶ |
| شکل ۱۳-۴) نمونههای گچی پس از بارگذاری..... | ۶۶ |
| شکل ۱۴-۴) ستاپ دستگاه اعمال بار به همراه گیچهای عقربهای، ولت متر و دستگاه تبدیل ولتاژ ورودی سلول بار..... | ۶۷ |
| شکل ۱۵-۴) بارگذاری روی نمونههای ضعیف؛ راست: ترکیب ماسه و کائولن، چپ: موم..... | ۶۸ |
| شکل ۱۶-۴) منحنیهای تنش-کرنش نمونههای با ترکیب ماسه آب و کائولن..... | ۶۹ |
| شکل ۱۷-۴) منحنیهای تنش-کرنش نمونههای با ترکیب ماسه پارافین و موم مایع..... | ۶۹ |
| شکل ۱۸-۴) منحنیهای تنش-کرنش نمونههای با ترکیب موم سفید و موم مایع..... | ۶۹ |
| شکل ۱۹-۴) منحنیهای تنش-کرنش نمونههای با ترکیب موم زرد و ماسه..... | ۶۹ |
| شکل ۲۰-۴) منحنیهای تنش-کرنش نمونههای با ترکیب واژلین، باریت و ماسه..... | ۷۰ |
| شکل ۲۱-۴) فکهای وارد کننده بار بر نمونه دیسکی در تست برزیلی..... | ۷۱ |
| شکل ۲۲-۴) راست: دستگاه تست برزیلی برای نمونههای مستحکم. چپ: دستگاه تست برزیلی برای نمونههای ضعیف..... | ۷۱ |
| شکل ۲۳-۴) نمونههای پس از شکست در تست برزیلی..... | ۷۲ |
| شکل ۲۴-۴) قالب‌های ساخته شده برای انجام تست برش مستقیم..... | ۷۳ |
| شکل ۲۵-۴) دستگاه تست برش مستقیم..... | ۷۴ |
| شکل ۲۶-۴) منحنی آزمایش برش مستقیم بر روی ترکیب چهار گچ، باریت و آب..... | ۷۴ |
| شکل ۲۷-۴) مشخصات باکس طراحی شده برای قالب گیری مدل فیزیکی..... | ۷۵ |
| شکل ۲۸-۴) تهیه نمونه در باکس چوبی..... | ۷۶ |
| شکل ۲۹-۴) بلوک ساخته شده جهت انجام آزمایش مدل فیزیکی..... | ۷۶ |
| شکل ۱-۵) صفحات جانبی محفظه مدل..... | ۷۸ |
| شکل ۲-۵) صفحات پلکسی گلاس..... | ۷۹ |
| شکل ۳-۵) قطعه طراحی شده جهت فیکس کردن صفحات پلکسی گلاس روی محفظه مدل..... | ۷۹ |
| شکل ۴-۵) پیچ متری برای اتصال قطعه فیکس کننده پلکسی گلاس به صفحات جانبی..... | ۷۹ |
| شکل ۵-۵) نمایش میزان تنش ماکزیمم ایجاد شده در صفحه پلکسی گلامن توسط نرم افزار FLAC ^{3D} | ۸۰ |

| | |
|--|----|
| شکل ۱۵-۵) بردارهای جابجایی حاصل از بارگذاری روی صفحه پلکسی گلاس..... | ۸۰ |
| شکل ۱۷-۵) راست: صفحه بارگذاری فوقانی، چپ: نحوه حمل و استقرار آن روی محفظه مدل با جرثقیل..... | ۸۱ |
| شکل ۱۸-۵) نماهای مختلف محفظه بارگذاری مدل..... | ۸۱ |
| شکل ۱۹-۵) استقرار بلوک در محفظه انجام آزمایش..... | ۸۲ |
| شکل ۲۰-۵) نحوه استقرار لوله، پین و جک هیدرولیکی برای بیرون کشیدن لوله..... | ۸۳ |
| شکل ۲۱-۵) شبیه‌سازی جابجایی های ایجاد شده در بلوک در حالت حفاری خود بلوک توسط نرم افزار <i>FLAC^{3D}</i> | ۸۴ |
| شکل ۲۲-۵) شبیه‌سازی جابجایی های ایجاد شده در بلوک در حالت حضور لوله بجای ماده اصلی توسط نرم افزار <i>FLAC^{3D}</i> | ۸۴ |
| شکل ۲۳-۵) بررسی داده‌های روش فتوگرامتری با داده‌های حاصل از تست بارگذاری تکمحوره بر روی نمونه تفلن..... | ۸۵ |
| شکل ۲۴-۵) تحلیل داده‌های عکس برداری در نرم افزار فتو شاپ..... | ۸۶ |
| شکل ۲۵-۵) بررسی نقطه مورد نظر در فریم شماره صفر در نرم افزار <i>photo shop</i> | ۸۷ |
| شکل ۲۶-۵) بررسی نقطه مورد نظر در فریم شماره هفت در نرم افزار <i>photo shop</i> | ۸۷ |
| شکل ۲۷-۵) مقایسه نتایج داده‌های روش فتوگرامتری با داده‌های حاصل از <i>MTS</i> بر روی تمام نقاط نمونه در یک فریم ثابت..... | ۸۸ |
| شکل ۲۸-۵) مقایسه نتایج داده‌های روش فتوگرامتری با داده‌های حاصل از <i>MTS</i> برای نقطه‌ای به طول <i>97/969 mm</i> | ۸۸ |
| شکل ۲۹-۵) نماهای مختلف دوربین <i>Canon EOS 400D</i> | ۹۰ |
| شکل ۳۰-۵) بلوک آماده شده برای انجام آزمایش..... | ۹۰ |
| شکل ۳۱-۵) افزایش کتراست عکس برای وضوح بیشتر نقاط توسط نرم افزار فتوشاپ..... | ۹۱ |
| شکل ۳۲-۵) انطباق نشانه‌های «بعلاوه شکل» برای تسهیل در قرائت نقاط..... | ۹۱ |
| شکل ۳۳-۵) ریختن ماسه بادی بر سطح بلوک..... | ۹۲ |
| شکل ۳۴-۵) موقعیت دوربین نسبت به مدل در هنگام آزمایش..... | ۹۳ |
| شکل ۳۵-۵) جابجایی نقطه ۱ سقف در حین بارگذاری..... | ۹۴ |
| شکل ۳۶-۵) جابجایی نقطه ۲ سقف در حین بارگذاری..... | ۹۴ |
| شکل ۳۷-۵) جابجایی نقطه ۳ سقف در حین بارگذاری..... | ۹۵ |
| شکل ۳۸-۵) جابجایی نقطه ۴ سقف در حین بارگذاری..... | ۹۵ |

| | |
|---|-----|
| شکل ۲۹-۵) جابجایی نقطه ۵ سقف در حین بارگذاری..... | ۹۵ |
| شکل ۳۰-۵) جابجایی نقطه ۶ سقف در حین بارگذاری..... | ۹۶ |
| شکل ۳۱-۵) جابجایی نقطه ۱ کف در حین بارگذاری..... | ۹۶ |
| شکل ۳۲-۵) جابجایی نقطه ۲ کف در حین بارگذاری..... | ۹۶ |
| شکل ۳۳-۵) جابجایی نقطه ۳ کف در حین بارگذاری..... | ۹۷ |
| شکل ۳۴-۵) جابجایی نقطه ۴ کف در حین بارگذاری..... | ۹۷ |
| شکل ۳۵-۵) جابجایی نقطه ۵ کف در حین بارگذاری..... | ۹۷ |
| شکل ۳۶-۵) جابجایی نقطه ۱ دیوار شمال غربی..... | ۹۸ |
| شکل ۳۷-۵) جابجایی نقطه ۲ دیوار شمال غربی..... | ۹۸ |
| شکل ۳۸-۵) جابجایی نقطه ۳ دیوار شمال غربی..... | ۹۸ |
| شکل ۳۹-۵) جابجایی نقطه ۴ دیوار شمال غربی..... | ۹۹ |
| شکل ۴۰-۵) جابجایی نقطه ۵ دیوار شمال غربی..... | ۹۹ |
| شکل ۴۱-۵) جابجایی نقطه ۱ دیوار جنوب غربی..... | ۹۹ |
| شکل ۴۲-۵) جابجایی نقطه ۲ دیوار جنوب غربی..... | ۱۰۰ |
| شکل ۴۳-۵) جابجایی نقطه ۳ دیوار جنوب غربی..... | ۱۰۰ |
| شکل ۴۴-۵) جابجایی نقطه ۴ دیوار جنوب غربی..... | ۱۰۰ |
| شکل ۴۵-۵) جابجایی نقاط ۵ دیوار جنوب غربی..... | ۱۰۱ |
| شکل ۴۶-۵) جابجایی اطراف تونل تهیه شده با نرم افزار اتوکد..... | ۱۰۲ |
| شکل ۴۷-۵) تنش های قائم زون های بلوک در نرم افزار <i>FLAC^{3D}</i> | ۱۰۳ |
| شکل ۴۸-۵) بردارهای جابجایی نقاط گره بلوک مدل شده در نرم افزار <i>FLAC^{3D}</i> | ۱۰۳ |
| شکل ۴۹-۵) مقایسه همگرایی نقاط سقف و کف در اثر حفاری..... | ۱۰۴ |
| شکل ۵۰-۵) همگرایی بدست آمده تونل حاصل از نرم افزار <i>FLAC^{3D}</i> | ۱۰۵ |
| شکل ۵۱-۵) تصویر داخل تونل پس از اتمام بارگذاری. شکستگی ها سقف، کف و دیوارهای قابل ملاحظه می باشد..... | ۱۰۶ |
| شکل ۵۲-۵) نمای دیگری از شکستگی های بوجود آمده در تونل..... | ۱۰۶ |
| شکل ۵۳-۵) تشکیل ترک های شعاعی در انتهای تونل به دلیل کرنش بیش از حد پلکسی گلاس..... | ۱۰۷ |
| شکل ۵۴-۵) نمای دیگری از ترک های شعاعی ایجاد شده در انتهای تونل..... | ۱۰۷ |
| شکل ۱-۶) نقش مدل سازی فیزیکی در طراحی..... | ۱۱۱ |

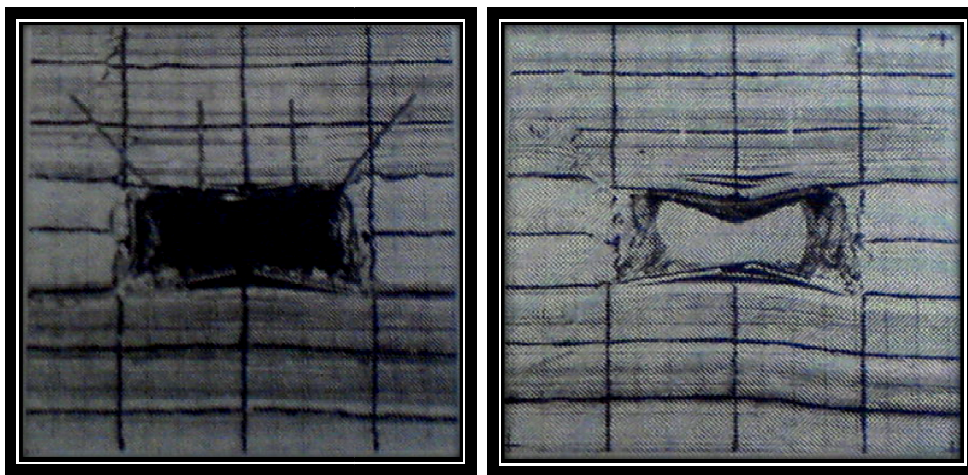
شکل ۲-۶) جابجایی اطراف تونل در طی مراحل مختلف انجام آزمایش..... ۱۱۴

شکل ۳-۶) شکستگی های ایجادشده در سقف، کف و دیواره های تونل در اثر بارگذاری..... ۱۱۴

فصل اول:

مقدمہ

روش مدل سازی ژئومکانیکی از دهه های ۱۹۵۰ و ۱۹۶۰ مبنای کار تحقیقاتی بر روی سنگ و مهندسی زیرزمینی بوده است. دو مثال کلاسیک استفاده از مدل سازی فیزیکی، مدل های هابرت^۱ و ترزاقی^۲ می باشد. هابرت برای بررسی کیفی ریزش تحت اثر نیروی جاذبه از ماسه استفاده کرد و ترزاقی نیز از همان ماده برای **مطالعه کیفی پدیده تشکیل قوس شکست** در سنگ های خرد شده استفاده نمود. کوربین^۳ آزمایش های مدل فیزیکی را برای توسعه و رسیدن به استفاده از طراحی منطقی نگهداری در ساختارهای زیرزمینی انجام داد. ژائو^۴ پایداری سنگ احاطه کننده فضای زیرزمینی را با استفاده از آزمایش مدل مطالعه و توزیع تنش و جابجایی سنگ را پیرامون این فضا به دست آورد [۱] و تولی^۵ از پین های سربی برای مدل سازی فیزیکی بولت های نگهداری استفاده نمود (شکل ۱-۱).



شکل ۱-۱) مدل سازی نگهداری: راست: بدون راک بولت، چپ: با راک بولت [۲]

با وجود هزینه بالای تجهیزات آزمایشگاهی و در مقابل، هزینه پایین روش های عددی، مدل سازی فیزیکی همچنان به طور گسترده ای در مهندسی زمین استفاده می شود. سرمایه گذاری های پیوسته مهندسین ژئوتکنیک بر تجهیزات مدل سازی فیزیکی برخلاف جهتگیری سایر رشته های مهندسی عمران است. در گرایش های هیدرولیک و یا مکانیک سیالات مدل سازی فیزیکی جای خود را به روش های عددی داده است که دلیل این امر نیز واضح است؛ هزینه بالای مدل های فیزیکی در قیاس با مدل های عددی.

1. Hubbert

2. Terzaghi

3. Corbin

4. Zhao

5. Tully

اما آیا همچنان باید نقشی برای مدل‌های فیزیکی در تحقیقات منظور کرد؟ پاسخ این سؤال «مثبت» است. ابتدا باید دید منظور از نقش چیست و چه منظری از رفتار خاک یا سنگ سعی می‌شود توسط مدل فیزیکی بررسی شود که در مدل عددی قابل مشاهده نیست. جواب پیچیدگی حل مسائل سه بعدی است که ساده‌سازی‌های صورت‌گرفته در مدل‌سازی‌های عددی پاسخگوی آنها نخواهد بود. برخی از مهمترین دلایلی که اهمیت استفاده از مدل‌سازی فیزیکی در تحقیقات پیش از طراحی را بیان می‌کند عبارتند از:

۱. پیچیدگی پروسه ساخت ناشی از هندسه، تغییر شکل‌های بزرگ و تأثیرات متقابل پیچیده بین مواد خاکی.
۲. خرش یا پدیده استحکام ثانویه^۱ خصوصاً در مورد پایه‌های سنگی.
۳. تأثیر بارگذاری‌های چرخه‌ای نظیر زلزله یا زهکش شدن ساختارهای نزدیک ساحل یا سد.
۴. محدودیت مدل‌های عددی برای پاسخ مواد خاکی و سنگی، بویژه پاسخ‌های غیر خطی، ناهمسانگردی مقاومت و رفتار تخریبی غیرقابل پیش‌بینی مواد سیمانه شده.

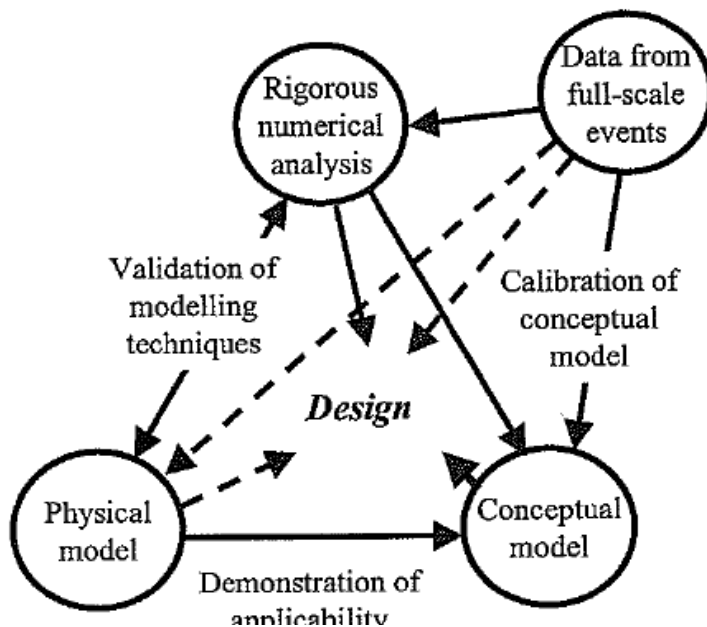
هر چند که لیست فوق جامع و کامل نیست اما پیچیدگی‌های عمده مشکلات مهندسین رئوتکنیک را نشان می‌دهد و محققین را به مقایسه و در نظر داشتن فواید و نواقص استفاده از مدل‌های فیزیکی و عددی تشویق می‌کند.

نقش مدل‌سازی از دیدگاه‌های گوناگون به طور شماتیک در شکل ۲-۱ نشان داده شده است. مهمترین بخش طراحی عموماً از مدل ساده فرضی^۲ نتیجه می‌شود که صحت آن به وسیله داده‌های حاصل از آزمایشات برجا و مدل‌سازی‌های فیزیکی و عددی بررسی می‌گردد.

داده‌های آزمایشات برجا و مدل‌سازی فیزیکی برای کالیبره کردن و نشان دادن درستی مدل فرضی به کار می‌روند. اگرچه ممکن است ادعا شود که نتایج حاصل از مدل‌های کوچک شده به اندازه نتایج برجا قابل اطمینان نیست، به همین خاطر مهندسین از ترکیب نتایج حاصل از این دو روش یا ترکیب نتایج حاصل از مدل‌های فیزیکی و عددی استفاده می‌کنند. [۳ و ۴ و ۵]

1. Secondary Consolidation

2. Conceptual Model

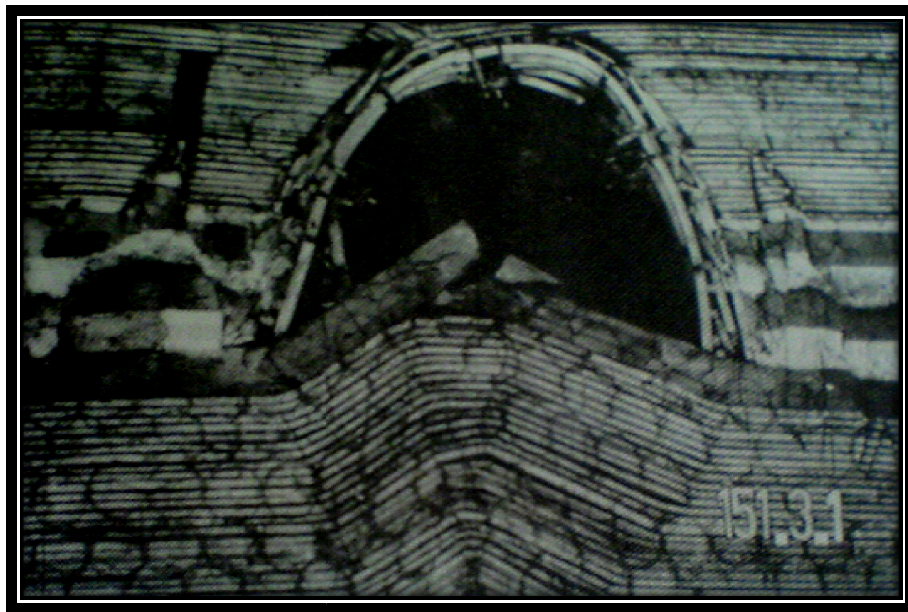


شکل ۲-۱) نقش مدلسازی فیزیکی در طراحی [۳]

هدف از ساخت مدل فیزیکی شبیه‌سازی رفتار نمونه اصلی در آزمایشگاه است. انتخاب با دقت مواد مدل و روش بارگذاری امکان مطالعه و بررسی رفتار الاستیک، پلاستیک، جریان ویسکوز و ترک خورده‌گی را به محقق می‌دهد (شکل ۱-۳).

زمانی که طراحی و ساخت یک مدل فیزیکی به طرز صحیحی صورت گرفته باشد، این وسیله ابزار مناسبی برای طراحی‌های مهندسی مانند سدهای قوسی که ترکیب سه بعدی پیچیده‌ای از سنگ و بتون است به دست می‌دهد که به عنوان مثال بررسی فونداسیون آنها به وسیله برنامه‌های عددی بسیار مشکل‌تر است. یکی از مهمترین امتیازات مدل‌های فیزیکی ارائه مد تغییر شکل و شکستی است که می‌تواند نتایج غیر قابل انتظار و بسیار مفیدی ارائه کند. اما از مهمترین عیوب آن هزینه و زمان مورد نیاز ساخت و مشکل بودن ساخت مجدد برای مطالعات جدیدتر است.

مدل فیزیکی از مواد ضعیف ساخته می‌شود. مواد مدل می‌توانند برای به دست آمدن هر ترکیب دلخواه از خواص زمین مانند لایه‌ها، درزهای یا هر وجه زمین‌شناسی مورد نظر با هم ترکیب شوند. یک مدل شبیه‌سازی شده زمانی رفتار مشابه نمونه اصلی را از خود نشان می‌دهد که شبیه‌سازی مواد و بارهای وارد به درستی صورت گرفته باشد. [۶]



شکل ۳-۱) مدل فیزیکی یک راهروی معدنی در سنگهای لایه‌ای.

بالا آمدگی کف و خمش لایه‌های سقف قابل مشاهده است [۶].

برای استفاده از ابزار مدل‌سازی فیزیکی باید اشراف کاملی به تئوری‌های آنالیز ابعادی و تشابه داشت. مطابق قوانین آنالیز ابعادی و تشابه بطور خلاصه می‌توان اینگونه بیان داشت که چنانچه بتوان بین یک مدل آزمایشگاهی با نمونه واقعی همان مدل تشابه هندسی، سینماتیکی و دینامیکی برقرار کرد، می‌توان با بررسی پارامترهای مؤثر بر مدل آزمایشگاهی، نتایج حاصله را به نمونه اصلی تعمیم داد که این ارتباط به کمک یک سری گروه‌های بی‌بعد (بدون دیمانسیون) صورت می‌پذیرد. توضیحات لازم درباره این مبحث در فصل دوم آورده شده است. در فصل سوم اصول مدل‌سازی فیزیکی و نکاتی که باید در ساخت مدل و اندازه‌گیری نتایج آزمایش مدل در نظر گرفته شود، مورد بررسی قرار گرفته است. شرح پروسه انتخاب ماده مورد نظر جهت ساخت مدل فیزیکی و نیز ساخت محفظه انجام آزمایش در فصل چهارم آورده شده است و در فصل پنجم چگونگی انجام آزمایش و بررسی داده‌های حاصل از آزمایش توضیح داده است. در پایان جمع بندی نتایج پروژه و پیشنهاداتی در راستای تداوم استفاده از این ابزار در آینده در فصل ششم شرح داده خواهد شد.